

А. Л. Смирнов

НЕКЛАССИЧЕСКИЕ БИРАЦИОНАЛЬНЫЕ
МОДЕЛИ $\text{Spec } \mathbb{Q}$

ВВЕДЕНИЕ

Данная работа связана с программой геометризации арифметики, где в качестве образца рассматривается алгебраическая геометрия над конечным полем. В настоящее время имеется по меньшей мере два систематических подхода к построению арифметической геометрии: подход Ш. Харана [1] и подход Н. Дурова [2]. Видимо, ни один из существующих подходов не отвечает всем пожеланиям. Тем не менее в каждой из теорий появились обобщенные кольца и схемы, изучение которых интересно как само по себе, так и для прояснения общей ситуации. Данная работа связана с подходом Дурова.

Рассмотрим сначала геометрический аналог интересующих нас арифметических проблем. Пусть X – алгебраическая кривая над некоторым полем F и $K = F(X)$ – поле рациональных функций на X . Нас интересуют бирациональные модели поля K , то есть алгебраические кривые V/F с фиксированным изоморфизмом $F(V) = K$. Ситуация с такими моделями достаточно ясна. А именно, среди моделей K имеется одна особенно приятная – полная и гладкая. Все другие модели могут быть получены из полной и гладкой с помощью вырезания и стягивания конечных подсхем (см., например, [3]).

Процедура вырезания полностью применима и в чисто арифметическом случае, то есть для спектров колец целых в числовых полях. Что касается процедуры стягивания, то ее применимость весьма ограничена. А именно, можно стягивать только равнозарактеристические подсхемы, да и то не все. При этом будут получаться спектры немаксимальных порядков числовых полей. Но нельзя, например, создать касп у $\text{Spec } \mathbb{Z}$ или склеить точки разных характеристик.

Ключевые слова: обобщенное кольцо, обобщенная схема, арифметическая кривая, особенность, касп, нодальная точка, бирациональный, модель, поле из одного элемента, гомотопическая группа.

Работа выполнена при поддержке РФФИ (грант РФФИ-16-01-00750).

Ситуация со стягиванием изменилась после введения обобщенных колец и схем. Примеры возникающих при этом обобщенных колец указаны в [4] и названы конгруэнц-кольцами. В данной работе мы продолжаем изучение обобщенных бирациональных моделей числовых полей. В §1 приведены сведения об обобщенных кольцах. В частности, введено понятие конгруэнц-подкольца и сформулирована теорема Евдокимова. Основные результаты работы являются усилением этой теоремы и приведены в §2. А именно, теоремы 2.2.2 и 2.2.3. Эти теоремы в последующих работах планируется применить для классификации бирациональных моделей \mathbb{Q} . В §3 приведено несколько нерешенных задач. Предложен подход к вычислению гомотопических групп с помощью обобщенных подколец \mathbb{Z} .

Данная работа частично выполнена во время пребывания автора в Математическом Институте Макса Планка в Бонне в 2016 году. Автор благодарит Институт и его сотрудников за гостеприимство.

§1. КОНГРУЭНЦ-ПОДКОЛЬЦА

Обычно ниже мы используем термин “кольцо” вместо термина “обобщенное кольцо” [2]. Как обычно, $R(n)$ – множество n -арных операций R . При этом $R(n) = R^n$ для классического кольца R . Все кольца предполагаются коммутативными.

1.1. Классический случай. Здесь приведены некоторые сведения о классических особенностях. Они предназначены служить образцом при изучении обобщенного случая. Особенности алгебраических криевых достаточно подробно рассмотрены в [3].

1.1.1. Стягивание подсхем в классическом случае. Опишем некоторый способ стягивания классических подсхем. Этот способ ниже будет применен к обобщенному случаю. Ограничимся аффинными схемами. Пусть $U = \text{Spec } A$, I – идеал в A и $Z = \text{Spec } A/I$ – замкнутая подсхема U . Предположим, что задано подкольцо $E \subset A/I$ и $W = \text{Spec } E$. Рассмотрим диаграмму схем

$$\begin{array}{ccc} Z & \xrightarrow{j} & U \\ p \downarrow & | & \downarrow \\ W & \dashrightarrow & V \end{array}$$

Здесь j – замкнутое вложение, соответствующее проекции $A \rightarrow A/I$, а p – проекция, соответствующая вложению $E \subset A/I$. Схема W рассматривается как результат факторизации схемы Z , а V рассматривается как результат стягивания схемы U вдоль p . В качестве V возьмем копредел части этой диаграммы, состоящей из стрелок j и p . Существование такого копредела легко увидеть из существования предела в двойственной категории колец.

$$\begin{array}{ccc} A/I & \xleftarrow{q} & A \\ i \uparrow & & \downarrow \\ E & \dashleftarrow & A_{q,i} \end{array} .$$

Здесь $A_{q,i}$ – просто прообраз $q^{-1}(iE) \subset A$.

Если мы рассматриваем не просто схемы, а схемы над некоторым кольцом F , то все данные должны быть определены над F . Тогда и $A_{q,i}$ наследует структуру F -алгебры.

1.1.2. Пример. Пусть $A = \mathbb{R}[x]$, $I = ((1+x)(1-x))$, $E = \mathbb{R}$. В этом случае

$$A_{q,i} = \{f \in \mathbb{R}[x] | f(1) = f(-1)\} = \mathbb{R}[u, v]/(u^2 - v^2 + u^3).$$

Здесь $u = x^2 - 1$, $v = x - x^3$. Таким образом, точки $x = 1$ и $x = -1$ стягиваются в простую двойную точку $(u = 0, v = 0)$ с касательным конусом из двух прямых.

1.1.3. Пример. Пусть $A = \mathbb{R}[x]$, $I = (x^2)$, $E = \mathbb{R}$. В этом случае

$$A_{q,i} = \{f \in \mathbb{R}[x] | f'(0) = 0\} = \mathbb{R}[u, v]/(v^2 - u^3).$$

Здесь $u = x^2$, $v = x^3$. Таким образом, подсхема \mathbf{A}^1 , заданная уравнением $x^2 = 0$, стягивается в касп $(u = 0, v = 0)$ с неприведенным касательным конусом.

1.1.4. Пример. Пусть $A = \mathbb{R}[x, y]/(xy - 1)$, $I = (x^2 + 1)$, $E = \mathbb{R}$. В этом случае

$$\begin{aligned} A_{q,i} &= \{f \in \mathbb{R}[x, x^{-1}] | f(i) \in \mathbb{R}\} = \mathbb{R}[u, v, w]/(uv - 1, 2 + u + v - w^2) \\ &= \mathbb{R}[s, t, w]/(s + t - st, s + t - w^2) = \mathbb{R}[t, w]/(t^2 + w^2 - tw^2). \end{aligned}$$

Здесь $u = x^2$, $v = y^2$, $w = x + y$, $s = u + 1$, $t = v + 1$. Таким образом, схемная точка степени 2, состоящая из двух геометрических точек $x = i$ и $x = -i$, переходит при стягивании в простую двойную точку

$(t = 0, w = 0)$ с неращепимым над базовым полем \mathbb{R} касательным конусом.

1.1.5. Особенности кривых. В 1.1.1 представлена процедура создания особенностей. Отметим и кратко обсудим несколько вопросов, которые возникают при изучении особых кривых. В классике эти вопросы обычно не вызывают серьезных затруднений, но в обобщенном случае мы оказываемся в зоне неизвестности и каждый шаг может привести к значительным трудностям.

- (1) Естественным образом особые кривые возникают при изучении кривых, вложенных, например, в \mathbf{A}^2 . Желательно уметь переходить от описания искусственно созданной особенности к естественно возникшей особенности и наоборот.
- (2) Желательно иметь набор численных инвариантов локальной особенности, таких, например, как кратность и кондуктор (см. [3, гл. IV, §2]). А именно,

$$\delta_Q = \dim_k \mathcal{O}_Q/\mathcal{O}'_Q \quad \text{и} \quad n_Q = \dim_k \mathrm{Ann}(\mathcal{O}_Q/\mathcal{O}'_Q).$$

Здесь \mathcal{O}'_Q – кольцо функций локальной особенности, $\mathcal{O}'_Q\text{-Mod}$ – категория \mathcal{O}'_Q -модулей, а \mathcal{O}_Q – кольцо функций ростка кривой, полученного разрешением локальной особенности.

- (3) Среди бирациональных моделей K имеется одна особенно приятная, а именно – полная и гладкая. Будем считать, что именно такова кривая X . Все модели V поля K могут быть получены с помощью “домиков” вида

$$\begin{array}{ccc} U & \xrightarrow{i} & X \\ p \downarrow & & \\ V & & \end{array}$$

где i – открытое вложение, а p – конечный морфизм степени один. Альтернативно, все модели V поля K могут быть получены с помощью “домиков” вида

$$\begin{array}{ccc} X & , & \\ \downarrow q & & \\ V & \xrightarrow{j} & Y \end{array}$$

где j — открытое вложение, а q — конечный морфизм степени один.

- (4) Помимо процедуры создания особенностей имеется и процедура разрешения особенностей. В случае кривых имеются даже две такие процедуры: нормализация и более конструктивная процедура раздущия.

1.2. Обобщенный случай. Понятие обобщенного конгруэнц-кольца введено в [4]. Ниже мы слегка обобщим его по аналогии с классическим случаем (см. 1.1.1).

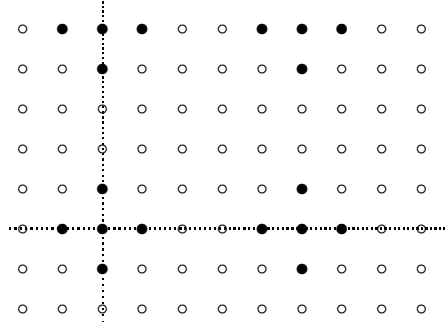
Определение 1.2.1. Рассмотрим классическое кольцо A , идеал $I \subset A$ и обобщенное подкольцо $E \subset A/I$. Конгруэнц-кольцо $A_{q,i}$, по определению, — предел диаграммы

$$\begin{array}{ccc} A/I & \xleftarrow{q} & A \\ i \uparrow & & \downarrow \\ E & \dashleftarrow & A_{q,i} \end{array},$$

где q — проекция, а i — вложение. Иными словами, $A_{q,i}$ — прообраз $q^{-1}(iE) \subset A$.

Если мы рассматриваем не просто кольца, а алгебры над некоторым кольцом L , то и $A_{q,i}$ наследует структуру L -алгебры.

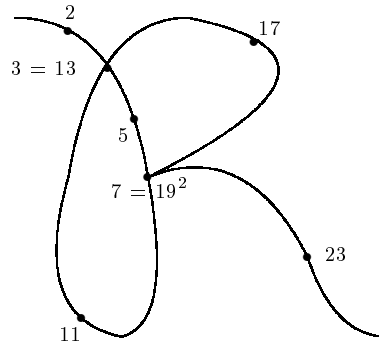
1.2.2. Пример. Пусть $A = \mathbb{Z}$, $I = (5)$, $E = \mathbb{F}$. Среди бинарных операций \mathbb{Z} , т. е. $\mathbb{Z}(2) = \mathbb{Z}^2$, на картинке



элементы $A_{q,i}(2)$ закрашены черным цветом.

§2. НЕКЛАССИЧЕСКИЕ БИРАЦИОНАЛЬНЫЕ МОДЕЛИ

Мы собираемся изучать неклассические бирациональные модели полей алгебраических чисел. Среди таких моделей имеются, например, сингулярные модели для $\text{Spec } \mathbb{Z}$. Один из примеров такой модели представлен рисунком



Здесь склеены простые 3 и 13, а также имеется касп в простом числе 19. Более того, этот касп склеен с простым числом 7. В классической теории нет ничего подобного, так как все классические схемы “живут” над $\text{Spec } \mathbb{Z}$. Изображенная же на картинке обобщенная схема “живет” ниже $\text{Spec } \mathbb{Z}$.

Положим

$$F = \mathbb{F}_{1^2}. \quad (1)$$

Здесь $\mathbb{F}_{1^2}(n)$ состоит из всех $a = (a_1, \dots, a_n)$, где $a_i \in \{-1, 0, +1\}$ и почти все $a_i = 0$, самое большее с одним исключением. Иными словами, для каждого a должен найтись индекс j такой, что $a_i = 0$ при $i \neq j$.

Мы рассматриваем любое классическое кольцо A как F -алгебру с помощью гомоморфизма, переводящего (-1) в (-1) .

2.1. Сингулярные модели $\text{Spec } \mathbb{Z}$. Сначала напомним понятие конечности в обобщенном контексте.

Определение 2.1.1. Пусть $\rho : A \rightarrow B$ – морфизм обобщенных колец. Кольцо B называется конечным над A , если функтор ограничения

скляров $\rho_* : B\text{-Mod} \rightarrow A\text{-Mod}$ переводит конечнопорожденные модули в конечнопорожденные.

Некоторые общие свойства конечных алгебр обсуждаются в [4, 2.1].

Будем говорить, что $\text{Spec } R$ – конечный фактор $\text{Spec } \mathbb{Z}$, если $R \subset \mathbb{Z}$ и \mathbb{Z} конечно над R . Будем говорить, что $\text{Spec } R$ представляет сингулярную модель $\text{Spec } \mathbb{Z}$, если $\text{Spec } R$ – конечный фактор $\text{Spec } \mathbb{Z}$ и локализация R по всем ненулевым элементам $R(1)$ совпадает с \mathbb{Q} .

Следующая теорема описывает строение конечных факторов $\text{Spec } \mathbb{Z}$, определенных над $F = \mathbb{F}_{1^2} \subset \mathbb{Q}$ (например, $\text{Spec } \mathbb{N}$ не такой).

Теорема 2.1.2. *Предположим, что $F \subset R \subset \mathbb{Z}$. Тогда*

- (1) *Если $\text{Spec } R$ – конечный фактор $\text{Spec } \mathbb{Z}$, то $\text{Spec } R$ – сингулярная модель $\text{Spec } \mathbb{Z}$;*
- (2) *$\text{Spec } R$ – сингулярная модель $\text{Spec } \mathbb{Z}$ тогда и только тогда, когда $R \supset R_N$ (см. [4]) для некоторого N .*

Это утверждение было сформулировано в [4] в качестве гипотезы. Эта гипотеза была сведена с помощью приема Н. Дурова к утверждению теоремы 2.1.3. Таким образом, весьма существенную роль в доказательстве теоремы 2.1.2 играет следующая теорема С. Евдокимова.

Теорема 2.1.3 ([5]). *Пусть W – некоторая F -подалгебра \mathbb{Z} , $(a, b) \in W(2)$ и $\gcd(a, b) = 1$. Тогда $(1, N) \in W(2)$, где $N = ab$.*

2.2. Однородные представления. Для классификации бирациональных моделей $\text{Spec } \mathbb{Q}$, которую мы планируем провести в последующих работах, потребуется однородное усиление теоремы Евдокимова.

2.2.1. Однородные комбинации степени d . Пусть $(x, y) \mapsto x * y$ – свободная бинарная коммутативная операция. Имеется естественный гомоморфизм

$$F[*] \rightarrow \mathbb{Q}[A, B], \quad * \mapsto (A, B).$$

Положим $\deg(*) = 1$, $\deg A = \deg B = 1$. Тогда вышеуказанный гомоморфизм становится гомоморфизмом градуированных колец.

Пусть $a, b \in \mathbb{Q}$. Говорим, что существует однородное представление $c \in \mathbb{Q}$ степени d с помощью бинарной операции $(a, b) \in \mathbb{Q}(2)$, если для некоторого n существует операция $f \in F[*]_d(n)$, так что $c = f(x_1, \dots, x_n)$, где $x_i \in F(1)$. Множество всех таких c обозначим X_d .

Иными словами, X_d состоит из целых чисел, представимых полным бинарным деревом высоты d , на листьях которого расположены элементы $F(1)$. Для вычисления числа, представленного таким деревом, идем от листьев к корню и ко входам x, y вершины применяем операцию $ax + by$, а ее результат подаем на выход из вершины.

Приведем рекурсивное описание X_d . Для этого рекурсивно определим множества $X_0, X_1, \dots \subset \mathbb{Z}$. Положим

$$X_0 = F(1) = \{-1, 0, +1\}.$$

Для $d = 1, 2, \dots$, по определению,

$$X_d = \{au + bv \in \mathbb{Z}(1) \mid u, v \in X_{d-1}\}.$$

Легко видеть, что X_d инвариантно относительно умножения на (-1) .

Нам потребуется также понятие однородной представимости бинарной операции. Говорим, что существует однородное представление $(c_1, c_2) \in \mathbb{Q}(2)$ степени d с помощью бинарной операции $(a, b) \in \mathbb{Q}(2)$, если для некоторого n существует операция $f \in F[*]_d(n)$, так что $c = f(x_1, \dots, x_n)$, где $x_i \in F(2)$.

Зафиксируем $a, b \in \mathbb{Z}$. Ниже будем предполагать, что

$$\gcd(a, b) = 1. \tag{2}$$

Пусть

$$N = ab. \tag{3}$$

Следующая теорема – основной качественный результат данной работы.

Теорема 2.2.2. *Существует $d > 0$ такое, что $1 \in X_d$.*

Теорема 2.2.2 будет выведена ниже из теоремы 2.2.3. Доказательство этой теоремы, наряду с леммой 2.2.5, представляют собой конструктивную версию теоремы 2.2.2.

Теорема 2.2.3. *Предположим, что для $d \in \{1, 2, \dots\}$ выполнены условия*

$$a^d + b^d \equiv 1 \pmod{N}, \tag{4}$$

$$d \text{ – четно,} \tag{5}$$

$$d \geq N. \tag{6}$$

Тогда $1 \in X_d$.

2.2.4. Доказательство теоремы 2.2.2. Выберем и зафиксируем $e > 0$ и $f > 0$, такие, что $a^e \equiv 1 \pmod{b}$ and $b^f \equiv 1 \pmod{a}$. Для всякого кратного e и f выполнено (4). Среди таких кратных много чисел, для которых выполнены (5) и (6). На этом вывод теоремы 2.2.2 из теоремы 2.2.3 завершен.

Ключевой шаг в доказательстве теоремы 2.2.3 – ее частный случай, сформулированный и доказанный в следующей лемме.

Лемма 2.2.5. Предположим, что для $d \in \{1, 2, \dots\}$ выполнены условия (4), (5) и (6) теоремы 2.2.3 и, кроме того,

$$|a| \leq 2|b| \quad \text{и} \quad |b| \leq 2|a|. \quad (7)$$

Тогда $1 \in X_d$.

Доказательство. В описании X_d (см. 2.2.1) можно заменить (a) на $(-a)$ (и аналогично для b). Поэтому без потери общности считаем, что $a \geq 0$ и $b \geq 0$. Кроме того, из (2) и (7) вытекает, что ни a , ни b не равны 0. Итак, ниже

$$a > 0, \quad b > 0. \quad (8)$$

Нам потребуется слегка более точная нижняя оценка на a и b . А именно, если $a = 1$ или $b = 1$, то лемма очевидна. Поэтому без потери общности считаем, что

$$\min(a, b) \geq 2, \quad \max(a, b) \geq 3, \quad N \geq 6. \quad (9)$$

Рекурсивно определим последовательность целых $q_0, q_1, \dots, q_{d/2}$ (в обозначении уже использована четность d – см. (5)). А именно, пусть

$$q_0 = 1.$$

Предположим, что $0 \leq i < d/2$ и q_i уже определено. Выберем $u_i, v_i \in \mathbb{Z}$ так, что

$$0 \leq u_i < b, \quad q_i \equiv u_i a^{d-2i} \pmod{b}, \quad (10)$$

$$0 \leq v_i < a, \quad q_i \equiv v_i b^{d-2i} \pmod{a}. \quad (11)$$

и положим

$$q_{i+1} = \left\lfloor \frac{q_i - u_i a^{d-2i} - v_i b^{d-2i}}{N} \right\rfloor. \quad (12)$$

Например, из (4) вытекает, что $u_0 = 1, v_0 = 1$. Поэтому $q_1 = \lfloor (1 - a^d - b^d)/N \rfloor$.

Из (2), (10) и (11) вытекает, что $q_i \in \mathbb{Z}$. В частности,

$$q_{d/2} \in \mathbb{Z}. \quad (13)$$

Утверждается, что

$$q_{d/2} \leq \binom{d}{d/2}. \quad (14)$$

Отсюда вытекает заключение леммы 2.2.5. Действительно, из (12) последовательно находим: $1 = a^d + b^d \pm q_1 N = a^d + b^d \pm N(u_1 a^{d-2} + v_1 b^{d-2} \pm Nq_2)$ и т. д. Поэтому

$$1 = \sum_{i=0}^d w_i a^{d-i} b^i, \quad (15)$$

где $w_i = \pm u_i$ при $1 \leq i < d/2$, $w_{d/2} = \pm q_{d/2}$ и $w_i = \pm v_i$ при $d/2 < i \leq d$. В частности, все $w_i \in \mathbb{Z}$. Кроме того, $|u_i| \leq N$ и $|v_i| \leq N$ (см. (10), (11)). Поэтому $|u_i| \leq d$ и $|v_i| \leq d$ (см. (6)). Следовательно,

$$|u_i| \leq \binom{d}{i}, \quad |v_i| \leq \binom{d}{d-i}. \quad (16)$$

Учитывая (14) и (16), заключаем, что

$$|w_i| \leq \binom{d}{i}. \quad (17)$$

Биномиальный коэффициент в (17) равен числу листков бинарного дерева высоты d , соответствующих моному $a^i b^{d-i}$. На них расположим $|w_i|$ элементов $\text{sign}(w_i)$, а на незаполненных листках поместим нули. Такое дерево вычисляет элемент $t \in X_d$ (см. 2.2.1). Из (15) вытекает, что $t = 1$. Поэтому $1 \in X_d$.

Осталось доказать (14). Для этого докажем по индукции, что

$$q_i \leq \frac{2^i}{4} [a^{d-2i-1} + b^{d-2i-1}]. \quad (18)$$

База индукции $i = 0$. В этом случае (18) сводится к тому, что

$$4 \leq [a^{d-1} + b^{d-1}]. \quad (19)$$

Это вытекает из (9) и того, что $d \geq N$ (см. (6)).

Рассмотрим индукционный переход $i \rightarrow i + 1$. Так как, по определению,

$$q_{i+1} = \left| \frac{q_i}{N} - \frac{u_i a^{d-2i} + v_i b^{d-2i}}{N} \right|$$

и $|x - y| \leq \max(x, y)$ для $x, y > 0$, то достаточно из индукционного предположения вывести неравенства

$$\frac{q_i}{N} \leq \frac{2^{i+1}}{4} [a^{d-2(i+1)-1} + b^{d-2(i+1)-1}] \quad (20)$$

и

$$\frac{u_i a^{d-2i} + v_i b^{d-2i}}{N} \leq \frac{2^{i+1}}{4} [a^{d-2(i+1)-1} + b^{d-2(i+1)-1}]. \quad (21)$$

Для проверки (20) достаточно ввиду индукционного предположения показать, что

$$2^i [a^{d-2i-1} + b^{d-2i-1}] \leq 2^{i+1} [a^{d-2i-3} + b^{d-2i-3}] N.$$

Упрощая, получаем

$$a^{d-2i-1} + b^{d-2i-1} \leq 2ab \cdot a^{d-2i-3} + 2ab \cdot b^{d-2i-3}.$$

Для этого достаточно проверить неравенства

$$a^{d-2i-1} \leq 2ab \cdot a^{d-2i-3} \quad \text{и} \quad b^{d-2i-1} \leq 2ab \cdot b^{d-2i-3}.$$

Или $a \leq 2b$ и $b \leq 2a$. Это верно по предположению (7).

Для проверки (18) осталось проверить (21), то есть проверить неравенство

$$u_i a^{d-2i} + v_i b^{d-2i} \leq \frac{2^{i+1}}{4} [ba^{d-2i} + ab^{d-2i}]. \quad (22)$$

Это верно при $i \geq 1$, так как $u_i < b$, $v_i < a$. Это верно и при $i = 0$, так как $u_0 = v_0 = 1$.

Для завершения доказательства леммы 2.2.5 осталось из (18) вывести (14). Применим (18) к $n = d/2$. Получим

$$q_n \leq \frac{2^n}{4} [a^{-1} + b^{-1}] \leq \frac{2^n}{2 \min(a, b)}. \quad (23)$$

Из формулы Стирлинга вытекает неравенство

$$\binom{2n}{n} \geq \frac{2^{2n}}{\sqrt{\pi n} \sqrt[6]{e}}. \quad (24)$$

Действительно, формула Стирлинга утверждает, что

$$\Gamma(s) = s^{s-\frac{1}{2}} \cdot e^{-s} \cdot \sqrt{2\pi} \cdot e^{\frac{\theta}{12s}} \quad (0 < \theta < 1).$$

Нас интересует оценка снизу для биномиального коэффициента

$$\binom{2n}{n}, \quad \text{где } n = 1, 2, \dots$$

Пользуясь формулой Стирлинга, получаем

$$\begin{aligned} \binom{2n}{n} &= \frac{2n\Gamma(2n)}{n^2\Gamma(n)^2} = \frac{2n}{n^2} \frac{(2n)^{2n-\frac{1}{2}} \cdot e^{-2n} \cdot \sqrt{2\pi} \cdot e^{\frac{\theta}{24n}}}{\left(n^{n-\frac{1}{2}} \cdot e^{-n} \cdot \sqrt{2\pi} \cdot e^{\frac{n}{12n}}\right)^2} \\ &= \frac{2^{2n}}{\sqrt{\pi n}} e^{\frac{\theta-4n}{24n}} \geq \frac{2^{2n}}{\sqrt{\pi n} \sqrt[6]{e}}. \end{aligned}$$

Ввиду (24) для завершения доказательства леммы 2.2.5 осталось понять, что

$$2 \min(a, b) \cdot 2^n \geq \sqrt{\pi n} \sqrt[6]{e}.$$

Это так при $a, b \geq 1$ и $n \geq 1$. \square

2.2.6. Вывод теоремы 2.2.3 из леммы 2.2.5. Для вывода используем процедуру сближения a и b . Для пары взаимно простых положительных целых (a, b) введем высоту

$$ht(a, b) = \max(a/b, b/a).$$

Из определения ясно, что всегда $ht(a, b) \geq 1$. Если

$$ht(a, b) \leq 2,$$

то пару назовем подходящей. Для подходящей пары теорема 2.2.3 совпадает с доказанной леммой 2.2.5 и, следовательно, верна. Если пара (a, b) не подходящая, то построим по ней новую пару (a', b') со следующими свойствами:

- (1) новая пара (a', b') допускает однородное представление с помощью исходной пары (a, b) (см. (2.2.1));
- (2) $ht(a', b') \leq \max(2, ht(a, b)/2)$.

Этого достаточно для доказательства теоремы 2.2.3. Действительно, из первого свойства вытекает, что любое число, которое можно однородным образом представить с помощью пары (a', b') , можно однородным образом представить и с помощью пары (a, b) . Из второго

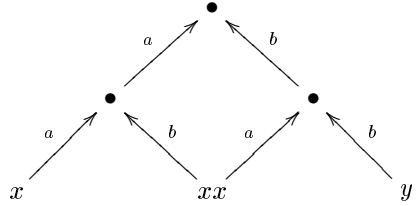
свойства вытекает, что достаточно конечного числа модификаций.

Предположим, что пара (a, b) не подходящая. Без ограничения общности считаем, что

$$2a < b. \quad (25)$$

Положим $a' = a^2 + 2ab$, $b' = b^2$. Ясно, что a' и b' взаимно просты. Вот однородное представление операции для новой пары с помощью исходной:

$$a'x + b'y = a(ax + bx) + b(ax + by)$$



Вот оценка высоты:

$$\frac{a'}{b'} = \frac{a^2 + 2ab}{b^2} \leqslant \frac{ab/2 + 2ab}{b^2} = \frac{5}{2} \frac{a}{b} < \frac{5}{4} \leqslant 2 \leqslant \max(2, ht(a, b)/2),$$

$$\frac{b'}{a'} = \left(\frac{a^2 + 2ab}{b^2} \right)^{-1} \leqslant \left(\frac{2ab}{b^2} \right)^{-1} = \frac{b}{2a} = \frac{ht(a, b)}{2} \leqslant \max(2, ht(a, b)/2).$$

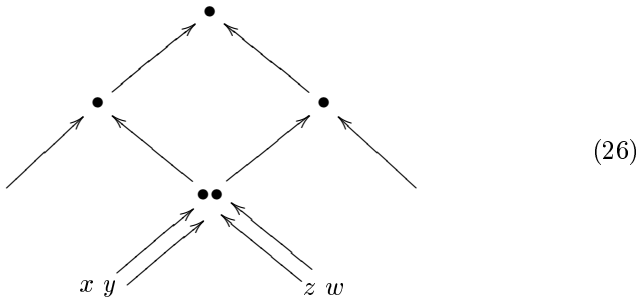
В первом неравенстве использовано то, что $a < b/2$. Это вытекает из (25) и того, что пара (a, b) – не подходящая. Таким образом, теорема 2.2.3 доказана.

§3. ЗАКЛЮЧЕНИЕ

Кратко обсудим некоторые проблемы и возможности, связанные с сингулярными моделями $\text{Spec } \mathbb{Z}$.

Начнем с некоторой задачи перечисления деревьев. Эта задача происходит из проблемы вычислимости для обобщенной аффинной плоскости $\mathbf{A}_{\mathbb{F}}^2 = \text{Spec } \mathbb{F}[*]$, где $*$ – свободная коммутативная бинарная переменная, а \mathbb{F} – начальный объект в категории обобщенных колец (в [2] это кольцо обозначено \mathbb{F}_0). По определению, имеется естественный эпиморфизм $\mathbb{F}\langle o \rangle \rightarrow \mathbb{F}[*]$, $o \mapsto *$, где o – свободная некоммутативная бинарная переменная. Таким образом, множество $\mathbb{F}\langle o \rangle(n)$ представлено множеством (классов изоморфизма) пар (T, m) , где T – бинарное дерево с упорядоченным множеством листьев $F(T)$, а $m : F(T) \rightarrow$

$\{x_1, \dots, x_n\}$ – маркировка. По определению множество $\mathbb{F}[*](n)$ является фактор-множеством $\mathbb{F}(\circ)(n)/\sim$, где \sim – отношение эквивалентности, порожденное соотношением коммутирования операции $*$ с собой: $(x*y)*(z*w) = (x*z)*(y*w)$. Требуется найти алгоритм для распознавания этого отношения эквивалентности. Отметим, что естественный гомоморфизм $\mathbb{F}[*] \rightarrow \mathbb{Z}[A, B]$, $* \mapsto (A, B)$ не решает эту проблему, так как не является вложением. Это видно на картинке



Действительно, можно переставить x и y , не меняя выхода в $\mathbb{Z}[A, B]$ (при этом z и w могут быть переставлены независимо). Однако автоморфизм для $*$ позволяет переставлять только целиком пары (x, z) и (y, w) . Решение этой задачи позволит, в частности, изучать особые арифметические кривые на аффинной плоскости и соответствующей проективной плоскости. Пока же для изучения доступны лишь кривые на более грубой модели \mathbf{P}^2 (см. [6]).

Следующий круг вопросов связан с геометрической формулировкой теории полей классов по образцу [3]. Начать можно с вычисления групп Пикара новых особых моделей. Разумеется, должна появиться особая версия теоремы Римана–Роха и обобщение всего этого на числовые поля. Отметим, что среди особых бирациональных моделей таких полей есть и классические схемы.

Несложно определить гомологии топологических пространств с коэффициентами в обобщенном кольце R . А именно,

$$H_n(X, R) = \pi_n(R(\mathrm{Sing} X)),$$

где Sing – симплексиальное множество сингулярных симплексов X . Тогда $H_n(X, \mathbb{Z})$ – обычные гомологии, а $H_n(X, \mathbb{F}_1)$ – гомотопические группы X . Рассмотренные особые модели \mathbb{Z} занимают промежуточное положение между \mathbb{Z} и \mathbb{F}_1 . Интересно было бы вычислить, хотя бы

частично, гомологии с коэффициентами в конгруэнц-кольце $Q_N = \mathbb{Z}_{q,i}$ (см. 1.2.1), где q — проекция $\mathbb{Z} \rightarrow \mathbb{Z}/N\mathbb{Z}$, а $E = \mathbb{F}_1$. Если ответ окажется нетривиальным, то можно попробовать перейти к пределу по N и учесть, что $\bigcap Q_N = \mathbb{F}_1$. Конечно, прежде всего стоило бы вычислить $H_n(S^m, Q_N)$ при $n > m$ для небольших m (например, для $m = 2$).

Мы начали изучение неклассических бирациональных моделей с \mathbb{Z} и \mathbb{Q} . Можно было бы изучать подобные вопросы для обобщенных колец $\mathbb{Z}_{>0}$ и $\mathbb{Q}_{>0}$ (или даже $\mathbb{Z}_{>0}$ и $\mathbb{Q}_{>0}$). В этом случае пришлось бы взять $F = \mathbb{F}_1$ или \mathbb{F}_0 . Отметим близость возникающих при этом вопросов к вопросам, рассматриваемым в [7–9]. Более того, некоторые из таких вопросов могут оказаться алгоритмически неразрешимыми [10]. Весьма детальный обзор работ по этой тематике содержится в [11].

ЛИТЕРАТУРА

1. Sh. Haran, *Non-additive geometry*. — Compositio Math. **143** (2007) 618–688.
2. N. Durov, *New approach to Arakelov geometry*. arXiv: 0704.2030 v1 [math AG] 16 Apr 2007.
3. J.-P. Serre, *Algebraic Groups and Class Fields*, Springer-Verlag, 1988.
4. А. Л. Смирнов, *Обобщенные подкольца арифметических колец*. — Зап. научн. семин. ПОМИ **349** (2007), 211–241.
5. С. А. Евдокимов, *Доказательство конгруэнц-гипотезы для обобщенных колец*. — Зап. научн. семин. ПОМИ **443** (2016), 91–94.
6. А. Л. Смирнов, *Бинарное проективное пространство*. — Зап. научн. семин. ПОМИ **365** (2009), 208–224.
7. D.A. Klarner, R. Rado, *Arithmetic properties of certaine recursively defined sets*. — Pacific J. Math. **53**, No 2 (1974), 445–463.
8. J. Lagarias, *The $3x + 1$ problem and its generalizations*. — Amer. Math. Monthly **92**, No. 1 (1985), 3–23.
9. S. Burckel, *Functional equations associated with congruential functions*. — Theor. Comput. Sci. **123** (1994), 397–406.
10. J. H. Conway, *Unpredictable iterations*. — Proc. Number Theory 1972, 49–52.
11. J. Lagarias, *The $3x + 1$ Problem: an Annotated Bibliography* (1963–1999) (sorted by author), arXiv:math/0309224 v13 [math.NT] 11 Jan 2011.

Smirnov A. L. Nonclassical birational models for $\text{Spec } \mathbb{Q}$.

We study generalized subrings of the ring of integers which give birational models for the field of rationals. A homogeneous strengthening of

Evdokimov's theorem is proved. An approach to calculation of homotopy groups by means of generalized rings is proposed.

Санкт-Петербургское отделение
Математического института
им. В. А. Стеклова РАН
E-mail: smirnov@pdmi.ras.ru

Поступило 11 января 2017 г.